

## ЛИТЕРАТУРА

1. Чернов Е. И. Метод определения оптимальных параметров систем фотометрирования // Оптическая промышленность. — 1984. — № 3.
2. Гришин М. П., Курбанов Ш. М., Чернов Е. И. Система автоматического фотометрирования полутоновых изображений на основе лавинного фотодиода с операционным усилителем // Автометрия. — 1982. — № 4.
3. Берлизова О. М., Никонов Б. С., Трищенков М. А. Особенности работы лавинного фотодиода с операционным усилителем // Оптическая промышленность. — 1977. — № 8.

Поступило в редакцию 26 июля 1985 г.

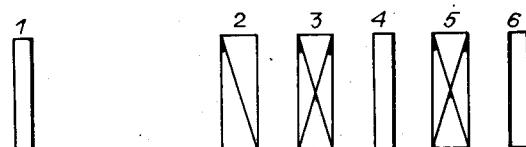
УДК 535.854

А. М. БЕЛКИН, М. И. ЗАХАРОВ  
(Новосибирск)

### О СЕЛЕКТИВНЫХ СВОЙСТВАХ АНИЗОТРОПНОГО ТРЕХЗЕРКАЛЬНОГО ЛАЗЕРНОГО РЕЗОНАТОРА

Перспективными устройствами для селекции частот в лазерах являются оптические резонаторы с анизотропными элементами [1—4]. Им свойственны низкие неселективные потери и высокая лучевая стойкость.

В работах [3, 4] рассматривались селективные свойства трехзеркального лазерного резонатора с двумя фазовыми пластинами и частичным поляризатором. Схема устройства приведена на рисунке. Резонатор состоит из последовательно расположенных зеркала 1, линейного поляризатора 2, линейной фазовой пластины 3, зеркала 4, линейной фазовой пластины 5 и зеркала 6. Рабочие поверхности фазовых пластин и вторая поверхность подложки зеркал просветлены. Угол между оптическими осями линейных фазовых пластин 3 и 5 равен  $\beta$ . Минимальный и максимальный энергетические коэффициенты пропускания поляризатора равны  $P_x$  и  $P_y$  соответственно. Было показано, что эффективная частотная селекция



имеет место для вариантов устройства, в которых линейная фазовая пластина 3 четвертьвольновая, причем ее оптическая ось ориентирована под углом  $45^\circ$  по отношению к оси поляризатора, а фазовый сдвиг между обыкновенной и необыкновенной волнами, вносимый линейной фазовой пластиной 5 за один проход, равен либо  $\pi/2$ , либо  $\arcsin(1 - R_1)/(1 + R_1)$ , где  $R_1$  — энергетический коэффициент отражения среднего зеркала 4.

Анализ влияния на селективные свойства резонатора его параметров в [3] проводился для единственного значения параметра  $\beta$ , а именно  $\beta = \pi/4$ . В работе [4] анализ ограничен значениями параметра  $P_x$ , близкими к нулю.

В настоящей работе рассмотрено влияние параметра  $\beta$  на селективные свойства резонатора, значение параметра  $P_x$ , которого существенно отличается от нуля. Показано, что характеристики такого резонатора существенно зависят от значения параметра  $\beta$ .

При расчете характеристик полагалось, что обе линейные фазовые пластины четвертьвольновые, причем оптическая ось пластины 3 ориентирована под углом  $45^\circ$  по отношению к осям поляризатора, а коэффициенты отражения концевых зеркал 1 и 6 равны единице. (Очевидно, что влияние значения коэффициента отражения выходного зеркала 1 на потери мод резонатора может быть учтено тривиальным образом.) Кроме того, полагалось, что максимальный энергетический коэффициент пропускания поляризатора  $P_y$  равен единице. Расчет проводился в приближении плоских волн с использованием матричного метода Джонса [5].

С учетом сделанных предположений матрица Джонса резонатора запишется в следующем виде:

$$M = \frac{\exp(i2vL)}{1 + R_1 \exp(i4vL_1)} \begin{pmatrix} m_{11} & m_{12} \\ m_{21} & m_{22} \end{pmatrix}, \quad (1)$$

где  $v$  — волновое число;  $L$  — полная оптическая длина резонатора;  $L_1$  — оптическая длина отрезка между зеркалами 4 и 6;

$$m_{11} = P_x(1 - R_1)\exp(i2\beta); \quad (2)$$

$$m_{12} = m_{21} = 2i\sqrt{P_x/R_1} \cos(2vL_1); \quad (3)$$

$$m_{22} = (1 - R_1)\exp(-i2\beta). \quad (4)$$

**Результаты расчета селективных потерь в анизотропном трехзеркальном резонаторе**

| $\beta$                           | $P_x$ | Потери в соседней моде, % | Максимальные потери, % | $\beta$                        | $P_x$ | Потери в соседней моде, % | Максимальные потери, % |
|-----------------------------------|-------|---------------------------|------------------------|--------------------------------|-------|---------------------------|------------------------|
| 0, $\frac{\pi}{2}$                | 0,726 | 27,4                      | 27,4                   | $\frac{\pi}{6}, \frac{\pi}{3}$ | 0,726 | 2,2                       | 11,7                   |
|                                   | 0,527 | 47,3                      | 47,3                   |                                | 0,527 | 4,1                       | 21,7                   |
|                                   | 0,383 | 24,8                      | 61,7                   |                                | 0,383 | 5,8                       | 30,0                   |
|                                   | 0     | 10,4                      | 56,0                   |                                | 0     | 10,4                      | 56,0                   |
| $\frac{\pi}{12}, \frac{5\pi}{12}$ | 0,726 | 5,2                       | 17,3                   | $\frac{\pi}{4}$                | 0,726 | 4,7                       | 10,2                   |
|                                   | 0,527 | 8,9                       | 31,0                   |                                | 0,527 | 3,3                       | 19,1                   |
|                                   | 0,383 | 10,9                      | 41,6                   |                                | 0,383 | 4,7                       | 26,7                   |
|                                   | 0     | 10,4                      | 56,0                   |                                | 0     | 10,4                      | 56,0                   |

Собственные значения матрицы (4) имеют вид

$$\lambda_{1,2} = 0,5 \frac{\exp(i2vL)}{1 + R_1 \exp(i4vL_1)} \left\{ (1 - R_1) [P_x \exp(i2\beta) + \exp(-i2\beta)] \pm \right.$$

$$\left. \pm \sqrt{(1 - R_1)^2 [P_x \exp(i2\beta) - \exp(-i2\beta)]^2 - 16 P_x R_1 \cos^2(2vL_1)} \right\}. \quad (5)$$

Частоты продольных мод резонатора находятся из условия баланса фаз

$$\arg \lambda_{1,2} = 2\pi q, \quad (6)$$

где  $q$  — целое число. Энергетические потери мод определяются обычным образом:

$$V = 1 - |\lambda_{1,2}|^2. \quad (7)$$

Рассматривался резонатор, полная оптическая длина которого составляла 1 м, а оптическая длина отрезка  $L_1$  между зеркалами 4 и 6 — 0,05 м. Энергетический коэффициент отражения  $R_1$  среднего зеркала 4 выбирался равным 0,2. При различных значениях параметров  $\beta$  и  $P_x$  на основе численных методов рассчитывались собственные частоты и потери мод резонатора при настройке, соответствующей минимуму потерь в выделяемой моде.

Селективные свойства резонатора наиболее кратко можно охарактеризовать, указывая, во-первых, потери в моде, соседней с выделяемой, а во-вторых, максимальные потери, влияющие на степень подавления мод, далеко отстоящих от выделяемой. Результаты расчетов при различных сочетаниях параметров  $\beta$  и  $P_x$  приведены в таблице. Параметр  $P_x$  принимает значения, равные 0,726, 0,527 и 0,383 в вариантах, в которых поляризатор выполнен соответственно в виде одной, двух и трех установленных под углом Брюстера пластин с показателем преломления, равным 1,5. Расчет собственных частот резонатора показал, что величина частотного интервала между выделяемой и соседней модами слабо зависит от  $\beta$  и  $P_x$ . Таким образом, потери в соседней моде, приведенные в таблице, соответствуют практически одной и той же расстройке по частоте от максимума амплитудно-частотной характеристики.

Анализ полученных результатов позволяет сделать следующие выводы:

- 1) сочетание значения параметра  $\beta$ , равного нулю, с близким к нулю значением параметра  $P_x$  [4] не обеспечивает наилучших избирательных свойств резонатора;
- 2) существуют наилучшие для целей частотной селекции сочетания параметров  $\beta$  и  $P_x$ , при которых значение  $\beta$  равно нулю или  $\pi/2$ , а значение  $P_x$  существенно отличается от нуля;
- 3) вариант резонатора, значение параметра  $P_x$  которого существенно отличается от нуля, может обладать по сравнению с вариантом резонатора, для которого  $P_x$  близко к нулю, более высокими потерями в моде, соседней с выделяемой, и более высокими максимальными потерями (степенью подавления далеко отстоящих мод);
- 4) немонотонный характер зависимости от параметра  $P_x$  потерь в соседней моде и максимальных потерь при значениях  $\beta$ , близких к нулю или  $\pi/2$ , наводит на мысль о возможности оптимизации селективных свойств резонатора.

#### ЛИТЕРАТУРА

1. Чекалинская Ю. И., Леднева Г. П., Чеченина Е. П. Частотно-поляризационные характеристики сложных резонаторов и оптических квантовых усилителей // Квантовая электроника и лазерная спектроскопия/Под ред. Б. И. Степанова и А. М. Самсона. Минск: ИФ АН БССР, 1971.
2. Новиков М. А., Тертышник А. Д. Оптические резонаторы с анизотропными элементами // Изв. вузов. Радиофизика.—1976.—Т. 19, № 3.
3. Захаров М. И., Прилепских В. Д. Характеристики анизотропного трехзеркального лазерного резонатора.—Новосибирск, 1984.—Рукопись деп. в ВИНИТИ, № 7036.

4. Захаров М. И., Прилепских В. Д. Частотная селекция в лазерах при помощи анизотропного отражающего интерферометра.— Новосибирск, 1984.— Рукопись деп. в ВИНИТИ, № 6435.
5. Молчанов В. Я., Скроцкий Г. В. Матричный метод вычисления собственных состояний поляризации анизотропных оптических резонаторов // Квантовая электроника.— 1971.— № 4.

Поступило в редакцию 16 мая 1986 г.

УДК 681.385/621.372.5/681.3.01

М. Н. ГОЛУБКОВА, Е. Ф. ОЧИН  
(Ленинград)

### АМПЛИТУДНЫЙ СИНТЕЗ КОМПЛЕКСНЫХ ПРОСТРАНСТВЕННО-ЧАСТОТНЫХ ФИЛЬТРОВ С ДВУМЯ ИМПУЛЬСНЫМИ ОТКЛИКАМИ

Передаточная функция комплексного пространственно-частотного фильтра для когерентного оптического процессора в общем виде может быть записана следующим образом:

$$H(\xi, \eta) = a(\xi, \eta) \exp[-i\varphi(\xi, \eta)], \quad (1)$$

где  $\xi$  и  $\eta$  — пространственно-частотные координаты;  $a$  и  $\varphi$  — передаточные амплитудная и фазовая функции.

При синтезе фильтра на ЭВМ функция (1) подвергается дискретизации и ступенчатой аппроксимации:

$$H(\xi, \eta) = \sum_{m=1}^M \sum_{n=1}^N H_{mn} \operatorname{rect} \left[ \frac{\xi - \Delta\xi \left( m - \frac{M+1}{2} \right)}{\Delta\xi} \right] \operatorname{rect} \left[ \frac{\eta - \Delta\eta \left( n - \frac{N+1}{2} \right)}{\Delta\eta} \right].$$

Здесь  $H_{mn} = a_{mn} \exp(-i\varphi_{mn}) = a(m\Delta\xi, n\Delta\eta) \exp[-i\varphi(m\Delta\xi, n\Delta\eta)]$ ;  $\Delta\xi, \Delta\eta$  — шаги дискретизации, выбранные в соответствии с теоремой отсчетов;  $M = \xi_{\max}/\Delta\xi + 1$ ,  $N = \eta_{\max}/\Delta\eta + 1$ ;  $[-\xi_{\max}, \xi_{\max}] \times [-\eta_{\max}, \eta_{\max}]$  — пространственно-частотная полоса пропускания процессора.

Рассмотрим синтез каждого комплексного отсчета фильтра

$$H_{mn} = a_{mn} \exp(-i\varphi_{mn}) = A_{mn} + iB_{mn},$$

записанного в алгебраической форме с помощью метода, предложенного Ли [1]. Синтезированный фильтр представляет собой матрицу ячеек, каждая из которых состоит из четырех щелей.

$$\begin{aligned} H(\xi, \eta) = & \sum_{m=1}^M \sum_{n=1}^N \sum_{k=1}^4 t_{mnk} \operatorname{rect} \left[ \frac{\xi - \Delta\xi \left( m - \frac{M+1}{2} + \frac{k-1,5}{4} \right)}{\Delta\xi/4} \right] \times \\ & \times \operatorname{rect} \left[ \frac{\eta - \Delta\eta \left( n - \frac{N+1}{2} \right)}{\Delta\eta} \right], \end{aligned}$$

удовлетворяющих системе уравнений

$$\begin{cases} A_{mn} = t_{mn1} - t_{mn3}; \\ B_{mn} = t_{mn2} - t_{mn4}. \end{cases} \quad (2)$$

с учетом ограничений

$$0 \leq t_{mnk} \leq 1, \quad k = (1, 4). \quad (3)$$

При таком кодировании предполагается, что импульсный отклик фильтра находится в порядках дифракции ( $\pm 1,0$ ), следовательно, шаг фазового кодирования составляет  $\pi/2$  на одну щель ячейки и  $2\pi$  на всю ячейку в направлении оси  $\xi$ .

Предлагаемый метод синтеза фильтра заключается в следующем. Пусть синтезированный фильтр представляет собой матрицу ячеек, каждая из которых состоит